Vol. 40, No. 6 November, 2021

◊ 研究报告 ◊

## 兰姆波锂电池极化电压优化实验\*

### 李志鹏 梁 威†

(上海工程技术大学机械与汽车工程学院 上海 201620)

摘要:为了降低极化对电池的影响,应用兰姆波技术对锂电池进行优化极化电压的实验。结合二阶电路模型,计算锂电池的极化电压,分析极化电压随各影响因素的变化关系。实验结果表明:当兰姆波的激发频率一定时,极化电压优化幅值随加在压电陶瓷两端的激发电压的增大而增大,呈线性变化;当兰姆波的激发电压保持不变时,极化电压优化幅值与加在压电陶瓷两端的激发频率不呈线性关系,而是在某一共振激发频率内达到最优。

关键词: 兰姆波; 极化电压; 锂电池; 二阶段路; 控制变量

中图法分类号: TN385; TB552 文献标识码: A 文章编号: 1000-310X(2021)06-0871-07

DOI: 10.11684/j.issn.1000-310X.2021.06.009

# Experimental investigations on polarization voltage optimization of lithium battery excited by Lamb waves

#### LI Zhipeng Liang Wei

(School of Mechanical and Automotive Engineering, Shanghai University of Engineering and Technology, Shanghai 201620, China)

Abstract: In order to reduce the influence of polarization on the battery, Lamb wave technology was used to optimize the polarization voltage of lithium battery. Combined with the second-order circuit model, the polarization voltage of lithium battery is calculated, and the relationship between the polarization voltage and the influencing factors is analyzed. The experimental results show that: when the excitation frequency of Lamb wave is constant, the optimized amplitude of polarization voltage increases linearly with the increase of excitation voltage at both ends of single-phase transducer (SPT); when the excitation voltage of Lamb wave remains unchanged, the optimized amplitude of polarization voltage is not linear, but reaches the optimal value in a common excitation frequency.

**Keywords:** Lamb wave; Polarization voltage; Lithium battery; Orthogonal experiment method; Control variable

#### 0 引言

锂离子电池具有循环性能好、放电容量高、无 记忆性等优点,广泛应用于电子产品、电动汽车、储 能等领域[1]。随着锂离子电池耗电量的增加以及充 电频率的升高, 锂离子电池需要更高的充电速度。 目前基本是通过增大充电电流实现快速充电的,常 用的充电方法主要有恒流充电法、恒压充电法、恒 流恒压充电法,快速充电法主要有多阶段恒流充电 法以及脉冲充电法[2-5]。虽然快速充电方法在很大 程度上提高了锂离子电池的充电速度,但是极化效 应在充电过程中依然对电池的充电效率、时间、循 环寿命有着很大的影响。极化现象的存在影响了电 池的充电效果,因此极化电压的优化研究成为目前 亟待解决的热点课题。Rajagopalan等[6]利用脉冲 充电的方式缓解极化效应,并研究了脉冲充电频率 对于极化现象的影响。卢雅豪等[7] 基于马斯曲线提 出间歇交变电流充电法,在充电过程中加入搁置从 而缓解极化现象。

然而搁置去极化法降低了锂电池的充电效率,负脉冲去极化存在着实现复杂、运行成本高等问题。因此研究人员试图寻找一种成本低廉、易于实现、不影响充电效率的去极化方法,由于兰姆波具有能量衰减小、传播距离远等特点,一些学者将其应用到电池研究中。Tietze等<sup>[8]</sup>利用兰姆波扰动锂电池阳极附近的边界层,促进离子传质从而实现电流的声学增强。Huang等<sup>[9]</sup>在利用兰姆波驱动电解质流动的实验中,发现了兰姆波缓解锂金属电池极化效应的现象,但实验对于影响兰姆波去极化的因素关注较少。

本文在表面声波缓解极化效应的基础上,应用 兰姆波装置探究各因素对于缓解极化的影响。本实 验利用压电陶瓷进行逆压电效应,在LIR1220 锂离 子电池上激发兰姆波以产生声流力,打破锂离子浓 度梯度从而缓解极化效应。实验中设置了兰姆波的 激发频率和激发强度两个变量并进行控制变量的 实验,通过相关实验分析出锂电池极化电压优化值 与相关因素的关系。

#### 1 理论分析

#### 1.1 兰姆波声学理论

在边界自由的弹性薄板上,薄板的厚度与板上传播的声波的波长在同一数量级时将激发兰姆波。

根据波长公式 $v = f\lambda$  (式中v表示波速,f表示频率, $\lambda$ 表示波长),可知1 MHz的声波在1 mm厚的锂电池上将激发兰姆波。

在结构中激发兰姆波时,质点的振动是对称模态和非对称模态两种振动的合成运动,对称模态下的 Rayleigh-Lamb 方程为

$$\frac{\tan pd}{\tan qd} = \frac{\left(k^2 - q^2\right)^2}{4k^2pq}.$$
 (1)

非对称模态下的 Rayleigh-Lamb 方程为

$$\frac{\tan pd}{\tan qd} = -\frac{4k^2pq}{(k^2 - q^2)^2}. (2)$$

式  $(1) \sim (2)$  中, k 为波数, d 为厚度,  $p^2$  和  $q^2$  表达式如下:

$$p^2 = \frac{\omega^2}{c_p^2} - k^2, (3)$$

$$q^2 = \frac{\omega^2}{c_a^2} - k^2,\tag{4}$$

其中, $\omega$ 为简谐运动的角频率, $c_p$ 为纵波波速, $c_s$ 为横波波速。由式可知,在给定的某一频厚积 fd下,可能同时存在多个模态的兰姆波,但是在较低的频厚积下 (LIR1220 锂离子电池: fd < 1 MHz·mm) 仅存在  $A_0$  模态和  $S_0$  模态兰姆波 [10]。本实验中只激发了  $A_0$  模态和  $S_0$  模态兰姆波,则兰姆波由电池表面辐射入电解液内时产生声流力,详述如下。

基于不可压缩流体动量守恒定理,电解质在扩散过程中满足纳维-斯托克斯方程:

$$\rho \frac{\partial \boldsymbol{u}}{\partial t} + \rho \left( \boldsymbol{u} \cdot \boldsymbol{\nabla} \right) \boldsymbol{u}$$

$$= F_S + \boldsymbol{\nabla} \cdot \left[ -p\boldsymbol{I} + \boldsymbol{u} \left( \boldsymbol{\nabla} \boldsymbol{u} + (\boldsymbol{\nabla} \boldsymbol{u})^{\mathrm{T}} \right) \right], \quad (5)$$

$$\boldsymbol{\nabla} \cdot \boldsymbol{u} = \boldsymbol{0}, \quad (6)$$

其中:  $\rho$ 为电解液密度, u为声流速度,  $F_S$ 为声流力,  $\mu$ 为电解液的黏度, I为单位对角矩阵。基于Nyborg [11] 的声流理论以及 Shiokawa 等 [12] 的推导, 电解液内的声流力  $F_S$  可表示为

$$F_S = -\rho \left(1 + \alpha_1^2\right)^{3/2} A^2 \omega^2 k_{\text{imag}}$$
$$\times \exp 2 \left(k_{\text{imag}} x + \alpha_1 k_{\text{imag}} z\right), \tag{7}$$

式(7)中: $\alpha_1$ 为衰减系数,A为兰姆波幅值, $\omega$ 为角频率, $k_{\text{imag}}$ 为兰姆波在电解液内的能量消耗系数。

锂电池在充电过程中,锂离子从正极向负极扩散运动。随着时间的推移,电池内部锂离子浓度不平衡<sup>[13]</sup>,两极之间出现浓度梯度<sup>[14]</sup>,从而导致两极电位偏离平衡。利用兰姆波辐射入电解液内产生声

流力,加速锂离子的传质、打破电极之间的浓度梯度,导致电解液内的锂离子浓度趋于均匀,可以减小两极电位的偏移即缓解极化效应。

#### 1.2 极化电压的计算

图1为锂电池二阶RC等效电路模型,通过该模型来联系电池内部化学反应和外部输出特性。图1中 $R_{\Omega}$ 表示电池内部各部分连接阻抗, $R_{p1}$ 表示电荷转移阻抗, $R_{p2}$ 表示扩散阻抗, $C_{p1}$ 表示电池电极界面双电层电容, $C_{p2}$ 表示浓差扩散对应的电荷量,OCV表示电池电动势,I表示充电电流, $V_{0}$ 表示电池端电压, $V_{\Omega}$ 表示直流阻抗压降, $V_{p}$ 表示极化电压。

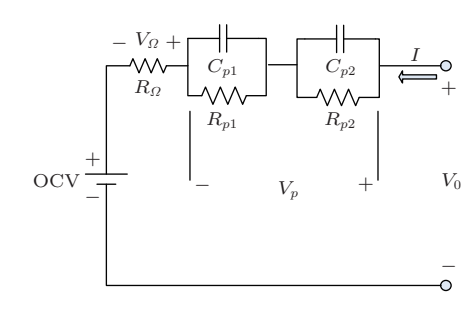


图 1 锂电池二阶 RC 电路模型

Fig. 1 Second order RC circuit model of lithium battery

根据二阶 RC 电路模型, 充电时的极化电压表达式为

$$V_p(SOC) = V_0 - OCV(SOC) - IR_{\Omega}.$$
 (8)

由式8可知,要求极化电压,需要4个变量:电池端电压 $V_0$ 、电池电动势OCV、电流I、直流内阻 $R_{\Omega}$ 。电池的电流和端电压可以实时测量,所以极化电压计算的关键在于测得电池电动势OCV和直流内阻。当锂电池小电流充放电时,电池的直流内阻压降和极化内阻压降很小 $^{[15]}$ ,当处于稳态时两者大小近似相等,符号相反。因此OCV可以通过小电流充放电求取电压平均值的方法测量:

- (1) 电池放空静置 2 h;
- (2) 用小电流 0.35 C给电池充电至截止电压,记录电压变化  $S_1$ ;
- (3) 用小电流 0.35 C给电池放电至截止电压,记录电压变化  $S_2$ ;
  - (4) OCV-SOC 曲线为  $S = (S_1 + S_2)/2$ 。 锂电池 OCV-SOC 曲线如图 2 所示。

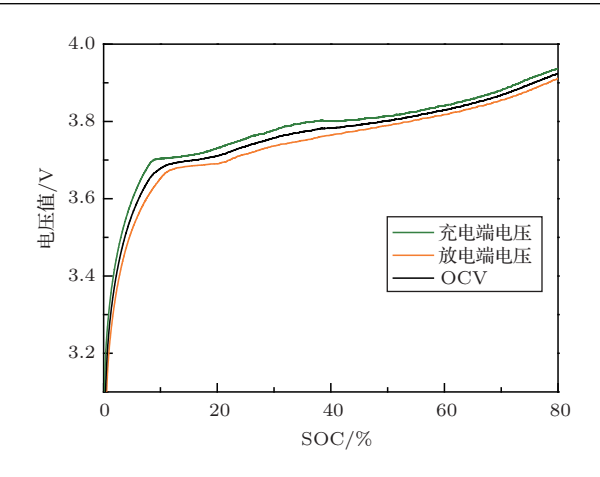


图 2 锂电池 OCV-SOC 曲线

Fig. 2 OCV-SOC curve of lithium battery

温度一定的条件下充电过程直流内阻可以认为恒定 [16]。由静置识别法原理来计算直流内阻  $R_{\Omega}$ : 对恒流充电的电池突然停冲,电压变化幅值与电流变化幅值的比值即直流内阻:

$$R_{\Omega} = \frac{\Delta v_0}{\Delta I},\tag{9}$$

此时,计算极化电压所需参数均已获得,按照式 (8) 可以计算得到  $V_p$ -SOC 曲线。

#### 2 实验

#### 2.1 实验装置

实验所用仪器装置有自制的放大电路单元、外接直流电源  $(0 \sim 30 \text{ V})$ 、函数信号发生器,压电陶瓷  $(1 \text{ mm} \times 10 \text{ mm})$  由美国 PI Ceramics 公司生产。阻抗分析仪 (Keysight E4990A) 测得压电陶瓷的阻抗为  $3.76 \times 10^4 \Omega$ ,电能转化声能效率  $\eta = 30.36\%$ 。函数信号发生器设置波偏移量为 2.5 V (直流),占空比为 50%。选用的电池为 LIR1220 扣式锂离子电池,其额定电压为 3.6 V,标称容量为  $\pm 7 \text{ mAh}$ ,内阻  $\leq 2.5$ ,质量为 1.1 g。使用由武汉蓝电公司生产的 CT3001K 蓝电测试仪器对电池进行充放电实验。

#### 2.2 实验程序

图3为实验装置示意图,将所有装置进行连接,压电陶瓷用环氧树脂胶粘在电池末端,冷却约24h使其牢固,并用焊锡将导线焊在压电陶瓷激发端。在环境温度为25°C的条件下,将电池放置于蓝电测试仪上。对电池进行1°C恒流充电,当电池

端电压达到充电截止电压 4.2 V时, 停止充电并静 置10 min。然后以0.5 C恒流放电, 当电池端电压 达到放电截止电压2.75 V时放电终止。以此作为 对照组并记录测试时间-电流-电压值以及容量-电 压值。接下来设计实验组流程:首先设置加在压电 陶瓷两端的激发电压为100 V,将激发频率分别设 置为0.5 MHz、1 MHz、1.5 MHz, 然后对电池进行 1 C恒流充电,在电池充电10 min后,接通电路激 发兰姆波,2 min 后关闭电路。6 min 后再次接通电 路激发兰姆波,通电2 min 后关闭电路,如此重复 4次至电池端电压达到截止电压时停止充电,记录 实验的时间-电流-电压值以及容量-电压值。以此 作为一组实验,每组实验均重复3次然后取平均值, 进而获得较为准确的数据。之后将压电陶瓷两端 的激发频率设置为1 MHz, 激发电压设置为80 V、 100 V、120 V, 进行与激发电压相关的电池充放电 实验。实验步骤与激发频率相关实验相同,每组 实验均重复3次然后取平均值,进而获得较为准确 的数据。

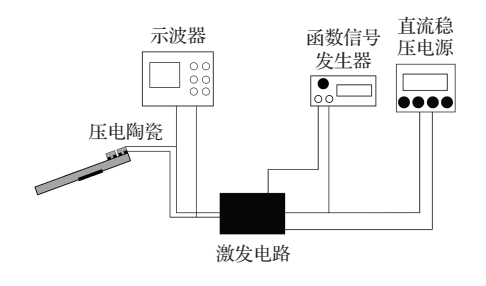


图 3 实验装置示意图

Fig. 3 Schematic diagram of experimental device

#### 3 讨论

#### 3.1 极化电压优化值与激发频率的关系

固定激发电压峰-峰值为100 V,激发频率分别设为0.5 MHz、1 MHz、1.5 MHz进行实验。图4与图5展示了固定激发电压下,激发频率对电池端电压曲线及电池容量的相关影响。从拟合的方程图像可以看出,电池的端电压与激发频率具有一定的关系,即当激发电压保持不变时,0.5 MHz的激发频率下,测试时间-电压及容量-电压的变化曲线相对较小,1 MHz 激发频率下的对应曲线变化幅度最大,而激发频率为1.5 MHz时的测试时间-电压及容量-电压的变化曲线介于0.5 MHz与1 MHz之间。

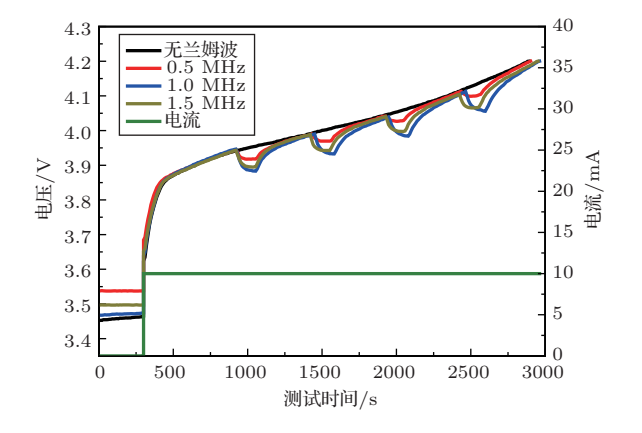


图 4 锂电池测试时间-电压-电流曲线

Fig. 4 Test time-voltage-current curve of lithium battery

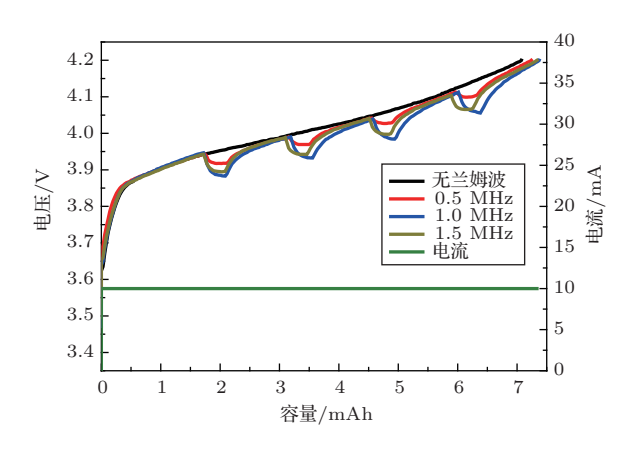


图 5 锂电池容量-电压-电流曲线

Fig. 5 Capacity-voltage-current curve of lithium battery

图6表示电池有无施加兰姆波时第二记录点 的极化电压值,由图可知,当激发电压的峰峰值固 定为100 V时,未施加兰姆波的电池的极化电压值 为0.2098 V; 压电陶瓷两端的激发频率为0.5 MHz、 1 MHz、1.5 MHz 所激发的兰姆波作用下的电池极 化电压值分别为0.1684 V、0.1335 V、0.1448 V。接 通电路激发兰姆波后电池的极化电压值均下降了, 且在压电陶瓷两端的激发频率为1 MHz时,电池的 极化电压值最小。而图7表示不同激发频率下,施 加兰姆波时极化电压最小值相对于未施加兰姆波 对应的极化电压的下降百分比。由图7可知不同激 发频率下,极化电压优化效果最明显的均为第二 阶段的测试点,对应的优化幅值分别为压电陶瓷两 端的激发频率为0.5 MHz时电池的极化电压降低 15.76%, 压电陶瓷两端的激发频率为1 MHz 时电池 的极化电压降低36.37%,压电陶瓷两端的激发频率

为1.5 MHz时电池的极化电压降低30.42 %。兰姆波对电池极化电压的优化与加在压电陶瓷两端的激发频率并不是简单的线性关系,而是在某个能使得压电陶瓷与电池达到共振的频率范围时,对锂离子浓度梯度的消除效果最佳,即能最大化地优化极化电压。

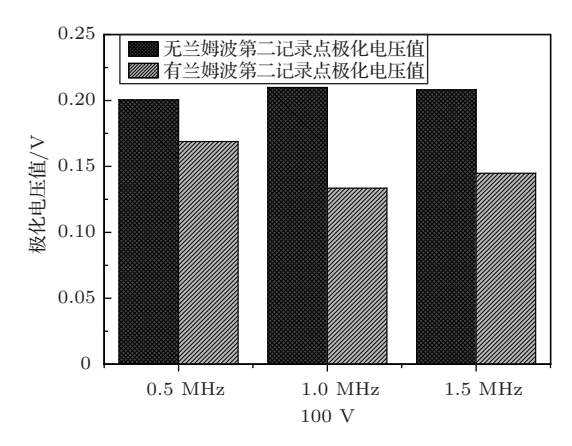


图 6 激励电压 100 V 时的各激发频率下的极化电压值及无兰姆波时的极化电压值

Fig. 6 Polarization voltage values at different excitation frequencies at  $100~\mathrm{V}$  excitation voltage and without Lamb wave

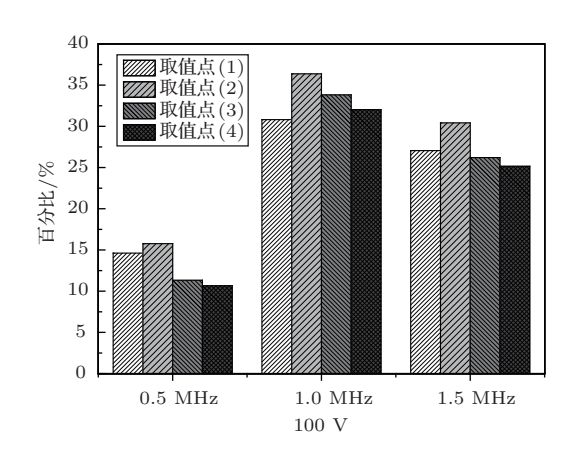


图 7 激励电压 100 V时的各激发频率下的极化电压优化百分比

Fig. 7 Optimized percentage of polarization voltage at each excitation frequency at  $100~\mathrm{V}$  excitation voltage

#### 3.2 极化电压优化值与激发电压的关系

图 8 与图 9 展示了当激发频率为 1 MHz 时,电池极化电压与压电陶瓷两端的激发电压的关系。当接通电路激发兰姆波时,电池端电压明显下滑,激发电压越大,测试时间-电压曲线及容量-电压曲线下滑幅度也越大。断开电路停止激发兰姆波后,电压

逐渐上升直至与未施加兰姆波的曲线相重合,这表明兰姆波对电池的极化电压有明显的优化效果。

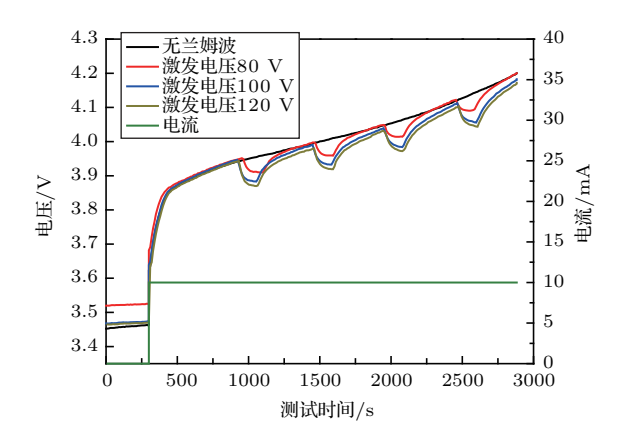


图8 锂电池测试时间-电压-电流曲线

Fig. 8 Test-time-voltage current curve of lithium battery

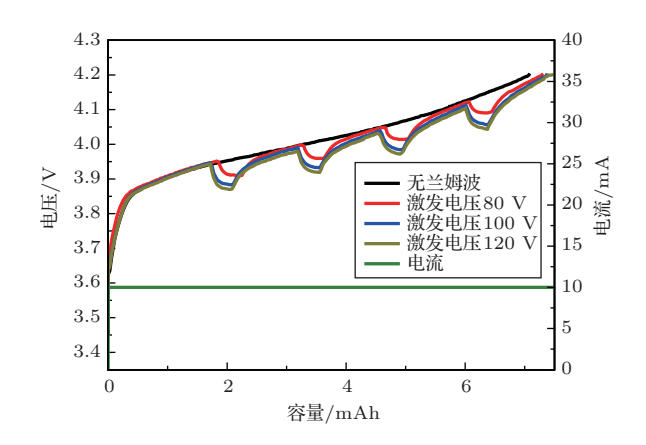


图 9 锂电池容量-电压-电流曲线

Fig. 9 Capacity-voltage-current curve of lithium battery

图10表示压电陶瓷两端的激发频率固定为1 MHz时有无兰姆波的第二记录点的极化电压值,由图可知,第二记录点无兰姆波的极化电压值为0.2098 V,而激发电压峰峰值为80 V、100 V、120 V时所产生的兰姆波作用下的电池极化电压值分别为0.1684 V、0.1335 V、0.1202 V。接通电路产生兰姆波后,电池的极化电压值均下降了,且在激发电压峰峰值为120 V时,电池的极化电压值最小。图11为激发频率为1 MHz时各激发电压下的极化电压优化百分比,由图可知,激发电压下的极化电压优化百分比,由图可知,激发电压越大,极化电压降低的效果越显著。不同激发电压下极化电压降低幅度最大的均为第二阶段的测试点。压电陶瓷两端激发电压为80 V、100 V、120 V时对应的电池极化电压下降幅值分别为23.78%、36.37%、42.71%。

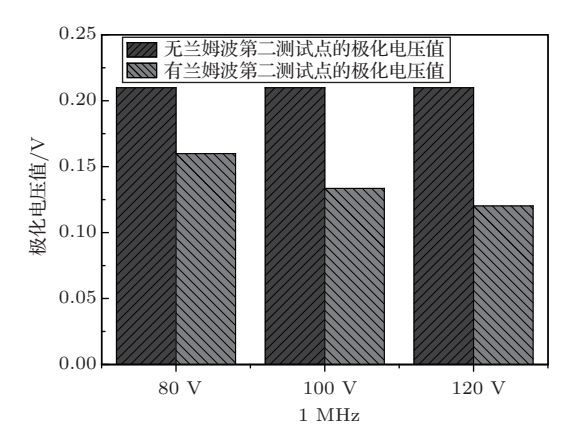


图 10 激发频率 1 MHz 时的各激发电压下的极化 电压值及无兰姆波时的极化电压值

Fig. 10 Polarization voltage values at excitation frequencies of 1 MHz and without Lamb wave

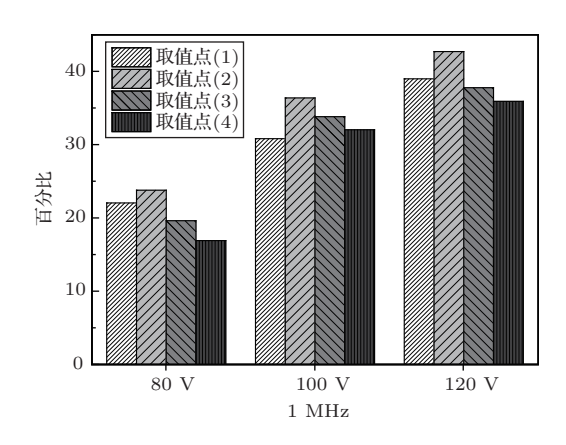


图 11 激发频率为 1 MHz 时的各激发电压下的极 化电压优化百分比

Fig. 11 Optimized percentage of polarization voltage at each excitation frequency at 1 MHz excitation frequency

#### 3.3 兰姆波去极化与传统去极化对比

极化在充电过程中无法避免,且对电池的充电 时间及循环寿命产生负面影响。一般而言缓解极 化效应一般有两种方式,下面分别介绍这两种去极 化方式并分别与本文所提出的兰姆波去极化进行 比较:

- (1) 自然消除,在充电过程中停止充电,欧姆极 化立即降为零,浓差极化与电化学极化也得到一定 程度的缓解。该方法需要在充电过程中加入搁置, 这样就延长了电池的充电时间,降低了充电效率。 因此兰姆波去极化相较于自然消除去极化有着缩 短充电时间、提高充电效率的优势。
- (2) 强制消除,对电池进行短时间的负脉冲,使 得金属离子朝着反方向运动,缓解了电解液内的浓

度梯度,从而减轻了极化现象。应用负脉冲去极化 需要确定负脉冲的幅值及宽度等参数,且不同电池 所需要的负脉冲幅值及宽度参数并不相同。因此兰 姆波去极化相较于强制消除去极化有着操作简单 易实现的优势。

#### 4 结论

应用声学

本文利用兰姆波装置在锂离子电池上成功实 现了电池极化电压的优化。该方法简单、高效、易 于安装。通过实验数据的采集与分析,发现兰姆波 的激发电压、激发频率影响电池极化电压变化特性。 结果表明当激发电压一定时,电池的极化电压随着 兰姆波激发频率的改变而变化,当兰姆波的激发频 率位于压电陶瓷与电池的共振频率区间内时,电池 极化电压取得最大优化幅值;在激发频率保持不变 时,锂电池极化电压优化幅值随激发电压的增大而 增大。通过实验数据可知,当兰姆波的激发频率越 接近共振频率,激发电压较大,电池的极化电压优化 幅值也就越大。

通过实验所得出的特性关系为锂离子电池极 化电压的优化提供了充分的条件。实验中,尽管只 使用了LIR1220钴酸锂离子电池这一代表性电池, 探究了电池极化电压优化特性,但是利用兰姆波优 化极化电压的方法,可以被应用到其他锂电池上,为 实现锂电池极化电压的优化提供了技术支持。

#### 文 献

- [1] 余海洋. 锂离子电池极化电压的优化分析[J]. 电子器件, 2019, 42(2): 108-111.
  - Yu Haiyang. Optimization analysis of polarization voltage of lithium-ion battery[J]. Chinese Journal of Electron Devices, 2019, 42(2): 108-111.
- [2] Liu K, Li K, Ma H, et al. Multi-objective optimization of charging patterns for lithium-ion battery management[J]. Energy Conversion and Manag-Ement, 2018, 159: 151-162.
- [3] 何亮明, 杜翀. 基于压降补偿的锂离子电池恒流充电方法 [J]. 电源技术, 2015, 39(6): 1155-1157.
  - He Liangming, Du Chong. A new constant current charging method for Li ion battery based on voltage drop compensation[J]. Chinese Journal of Power Sources, 2015, 39(6): 1155-1157.
- [4] 潘盛辉, 丁修乘, 郭毅锋. 锂离子动力电池脉冲快速充电实验 研究 [J]. 电源技术, 2016, 40(6): 1172-1175.

- Pan Shenghui, Ding Xiucheng, Guo Yifeng. Experimental study on pulse fast charging of lithium-ion battery[J]. Chinese Journal of Power Sources, 2016, 40(6): 1172–1175.
- [5] 吴铁洲, 白婷. 间歇-正负脉冲蓄电池快速充电方法的研究 [J]. 电子器件, 2014, 37(6): 1245-1250.
  - Wu Tiezhou, Bai Ting. Research on intermittent-positive and negative pulse fast charging of lithium-ion battery[J]. Chinese Journal of Electron Devices, 2014, 37(6): 1245–1250.
- [6] Rajagopalan K D R, Weatherspoon M H. The effect of pulse charging on commercial lithium nickel cobalt oxide (NMC) cathode lithium-ion batteries[J]. Journal of Power Sources, 2020, 479: 229085.
- [7] 卢雅豪, 邓军. 一种锂电池快速充电方法的设计与实现 [J]. 电子设计工程, 2020, 28(1): 113-117, 122.

  Lu Yahao, Deng Jun. Design and implementation of a fast charging method for Lithium batteries [J]. Electronic Design Engineering, 2020, 28(1): 113-117, 122.
- [8] Tietze S, Reißenweber M, Schlemmer J, et al. Investigation of the surface condition of an electrode after electropolishing under the influence of surface acoustic waves[J]. Physics Procedia, 2015, 70: 1039–1042.
- [9] Huang A, Liu H, Manor O, et al. Enabling rapid charging

- lithium metal batteries via surface acoustic wave–driven electrolyte flow[J]. Advanced Materials, 2020, 32(14): 1907516.
- [10] 鲁光涛. 基于兰姆波的薄壁结构损伤识别 [D]. 武汉: 武汉科技大学, 2017.
- [11] Nyborg W L. Acoustic streaming due to attenuated plane waves[J]. The Journal of the Acoustical Society of America, 1953, 25(1): 68–75.
- [12] Shiokawa S, Matsui Y, Ueda T. Liquid streaming and droplet formation caused by leaky Rayleigh waves[C]. Ultrasonics Symposium, 1989.
- [13] 董文. 纯电动汽车锂电池剩余电量管理技术研究 [D]. 沈阳: 沈阳理工大学, 2012.
- [14] 姚雷, 王震坡. 锂离子电池极化电压特性分析 [J]. 北京理工大学学报, 2014, 34(9): 912–916, 922.
  Yao Lei, Wang Zhenpo. Polarization characteristics of the lithium-ion battery[J]. Transactions of Beijing Institute of Technology, 2014, 34(9): 912–916, 922.
- [15] Dubarry M, Liaw B Y. Identify capacity fading mechanism in a commercial LiFePO<sub>4</sub> cell[J]. Journal of Power Sources, 2009, 194(1): 541–549.
- [16] 刘秋降. 基于极化电压特性锂电池优化充电研究 [D]. 北京: 北京交通大学, 2014.